


OBJEDNÁVATEĽ



NÁRODNÁ DIAĽNIČNÁ SPOLOČNOSŤ

DOKUMENTÁCIA NA STAVEBNÉ POVOLENIE 305-00

ZÁKAZKA		DIAĽNIČNÝ PRIVÁDZAČ LIETAVSKÁ LÚČKA - ŽILINA			
ČASŤ STAVBY		305-00 ODLUČOVAČ ROPNÝCH LÁTOK V km 7,040		MILETIČOVA 21, P.O. BOX 34 820 05 BRATISLAVA 25 TEL. : 02/5057 4703, FAX. : 02/5057 4798	
PRÍLOHA		STATICKÝ VÝPOČET		STUPEŇ DSP	ČÍSLO ZÁKAZKY 1347/1214
OBJEDNÁVATEĽ		NÁRODNÁ DIAĽNIČNÁ SPOLOČNOSŤ, a.s.		OKRES ŽILINA	
HLAVNÝ INŽ. PROJ. Ing. Marek Goláb <i>Golab</i>	TECH. KONTROLA Ing. Ondrej KUPČO <i>Kupčo</i>	SÚRADNICOVÝ SYSTÉM JTSK		KATASTRÁLNE ÚZEMIE: BYTČICA	
ZODP. PROJ. Ing. Dušan Ďuriš, PhD.	VED. ÚSEKU Ing. Peter ŽIAK <i>Žiak</i>	VÝŠKOVÝ SYSTÉM Bpv		ČÍSLO PRÍLOHY 5	SÚPRAVA
VYPRACOVAL Ing. Andrej Prítula, PhD.	DÁTUM 05.2014	FORMÁT A4	MIERKA -		

1. Úvod

Predmetom tohto statického výpočtu je návrh a posúdenie základovej dosky pod nádržami odlučovačov (ORL). ORL sa nachádza v km 7,040 Diaľničného privádzača Lietavská Lúčka – Žilina, vľavo. Predmetom tohto statického výpočtu nie sú samotné nádrže odlučovača.

2. Geológia

V blízkosti predmetnej časti stavby sa nachádzajú nasledovné vrty:

JP-49 (362,85m)

Kvartér

0,0 - 0,4m Íl hnedý, slabo piesčitý, pevnej konzistencie, do 0,1 m prekorenělý.

0,4 - 2,3m Íl strednej plasticity, polygenetický, hnedožitý, pevnej konzistencie, do 1,8 m výrazne sivošmuhovitý. Od 1,4 m je strednej a vysokej plasticity, tuhej konzistencie. Sivý íl neobsahuje prímies zrn a úlomkov. Od 1,6 m je výrazne škvritný. **F6**

2,3 - 4,1m Íl štrkovitý, terasový, hnedej hrdzavohnedej farby, pevnej konzistencie, s obsahom valúnov granitoidov prevažne veľkosti 20-40 mm, od 3,5 m až 60-80 mm, obsahu 40%. Íl je pevný, lokálne tuhý, nížkej až strednej plasticity. **F2**

4,1 - 8,0m Štrk s prímiesou jemnozrnej zeminy, do 5,4 m až štrk hlinitý, terasový, sivý, hnedosivý, zrná stredne až dobre opracované, zaoblené. Sú prevažne budované granitoidmi, (80%), karbonátmi (15%), kremencami a pieskovcom. Sú veľkosti do 5- 30 mm, maximálne do 20-160 mm. Celkový obsah štrku je do 60-65%. Výplň tvorí piesok s prímiesou jemnozrnej zeminy, obsahu do cca 30-40%. V polohách 4,4- 4,9 m, 5,3-5,4m, 6,3-6,6 m, 7,3-7,4 m, 7,7-7,8 m je obsah výplne až do 40-50 %. **G3-G4**

Hladina podzemnej vody nebola narazená

3. Zaťaženia

3.1. Gravitačné zaťaženia G_0

3.1.1. Vlastná tiaž základovej dosky

Vlastná tiaž betónových konštrukcií je uvažovaná s objemovou tiažou betónu: 25,0 kN/m³.

3.1.2. Vlastná tiaž nádrží odlučovača

- Nádrž 2,6 x 3,6 x 1,9m, hrúbka steny / stropu 0,15m. $G_{0k}=5,64\text{m}^3 \cdot 25\text{kN/m}^3 = 141\text{kN}$
 $g_{0k}= 141\text{kN} / 2,6\text{m} / 3,1\text{m} = 15,1\text{kN/m}^2$
- Nádrž 5,5 x 2,8 x 2,0m, hrúbka steny / stropu 0,15m. $G_{0k}=8,7\text{m}^3 \cdot 25\text{kN/m}^3 = 218\text{kN}$
 $g_{0k}= 218\text{kN} / 5,5\text{m} / 2,8\text{m} = 14,1\text{kN/m}^2$

3.1.3. Vlastná tiaž náplne odlučovačov

Náplň nádrží bola uvažovaná s objemovou tiažou 10kN/m³. Uvažovaná hladina náplne bola 1,5m nad dnom.

3.1.4. Vlastná tiaž nadložia, zásypu

Nadložie bolo uvažované s objemovou tiažou: 20,0 kN/m³.

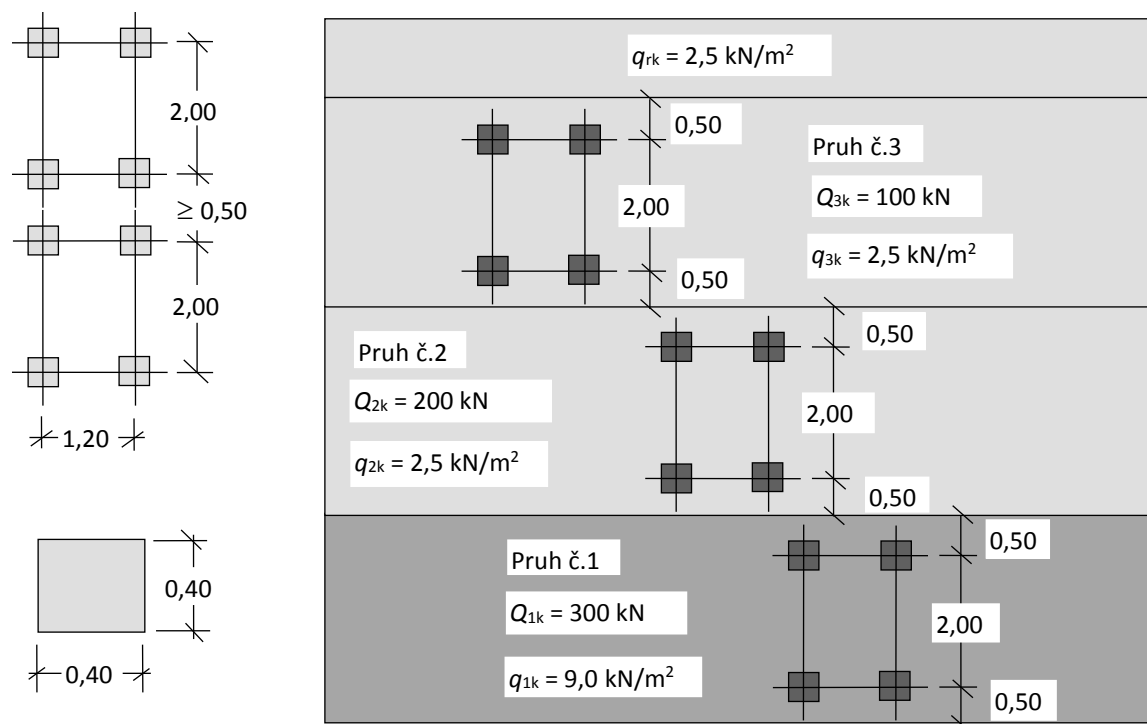
3.2. Zaťaženie dopravou Q

Vzhľadom na možnosť pojazdu vozidiel nad nádržami ORL bolo uvažované so zaťažením dopravou v zmysle STN EN1991-2. Roznášací uhol zaťaženia od dopravy bol uvažovaný hodnotou 30°.

➤ Hlavný zvislý zaťažovací systém mostov predstavuje zaťažovacia schéma 1 (LM1), ktorá sa používa pre celkové aj lokálne posúdenia (obr.1.1).

Táto schéma sa skladá z dvoch častí. Prvú časť tvorí dvojnápravové sústredené zaťaženie (TS), kde každá náprava ma tiaž $\alpha_Q \cdot Q_k$. Nápravu tvoria dve identické kolesá s roznášajúcou plochou 0,40 m x 0,40 m. Druhá časť zaťaženia pozostáva z rovnomerného plošného zaťaženia UDL s intenzitou $\alpha_Q \cdot q_k$ kde Q_k , a q_k sú charakteristické hodnoty zaťaženia v ktorých sú zahrnuté aj dynamickej účinky, pozri tab.2.1.

Pohyblivé zaťaženie umiestňujeme do myslenných pásov max. šírky 3 m, pričom v rámci pásu sa môže pohybovať len jeden TS a jedno UDL.



Obr.1.1 Usporiadanie zaťaženia zaťažovacia schéma LM1

Intenzita zaťaženia TS a UDL sa mení v závislosti od číselného označenia „i“ myslenného pásu a má veľkosť $\alpha_{Qi} \cdot Q_{ik}$, resp. $\alpha_{qi} \cdot q_{ik}$. Hodnoty Q_{ik} a q_{ik} sú uvedené v tab.2.

Hodnota redukčných súčiniteľov α_{Qi} a α_{qi} bola uvažovaná v zmysle Národnej prílohy SR STN EN 1991-2/NA, $\alpha_{Qi} = 1,0$ a $\alpha_{q1} = 1,0$ a $\alpha_{qi} = 1,0$ pre $i \geq 2$.

Umiestnenie	TS [kN]		UDL [kN/m ²]	
	Q_{ik}	$\alpha_{Qi} Q_{ik}$	q_{ik}	$\alpha_{qi} q_{ik}$
Zaťažovací pás č.1	300	300	9,0	9,0
Zaťažovací pás č.2	200	200	2,5	2,5
Zaťažovací pás č.3	100	100	2,5	2,5
Ostatne pásy	0	0	2,5	2,5
Zostatková plocha	0	0	2,5	2,5

Tab.1.1 – Základné hodnoty zaťaženia

Vzhľadom na polohu navrhovanej základovej dosky bolo uvažované len so zaťažovacím pásom č.1.

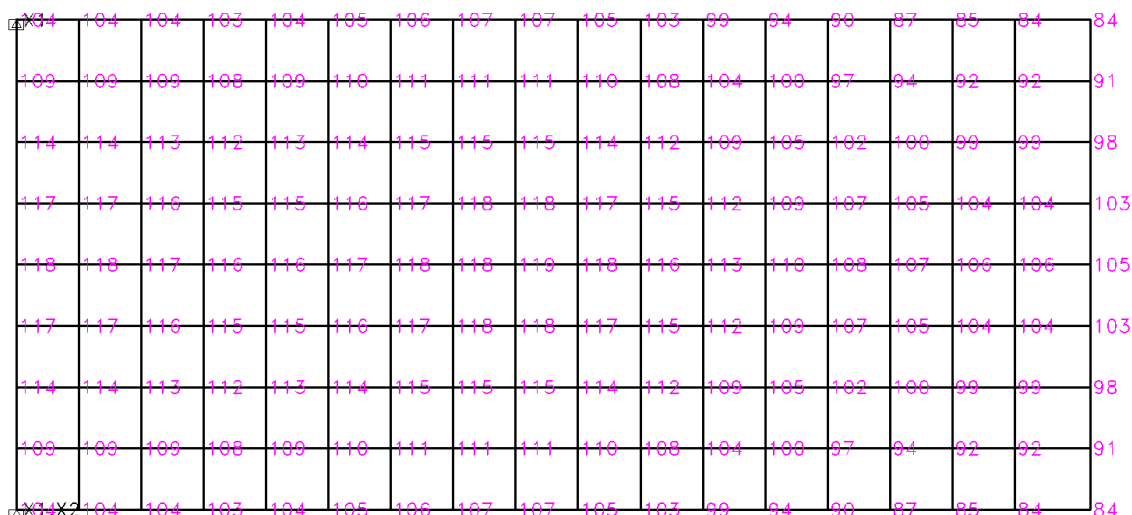
➤ Zaťažovací systém LM2 sa používa na lokálne posúdenia. Model tvorí jednonápravové zaťaženie $\alpha_{Q1} Q_{ak}$, s tiažou $Q_{ak} = 400$ kN, ktoré zahŕňa aj dynamické účinky.

4. Výpočtový model

Na návrh rozmerov, výstuže a zakladania bol zvolený doskový výpočtový model na pružnom podloží. Model bol vytvorený v programe Strap založenom na MKP. Hodnota zvislej pružiny bola zvolená vzhľadom na geologické pomery, rozmery prvku a polohu základovej škáry. Rozmery dosky sú: 6,2m x 13,6m x 0,25m z betónu C25/30 - XC2, XA1 (SK), Cl0,4, D_{max} 16, S3.

5. Posúdenie únosnosti základovej škáry – súbor C (STR/GEO)

Kontaktné napätie [kPa] – obálka návrhových kombinácií zaťaženia:



Soil coefficient = 8000.kN/m**3
SPRING Stresses COMBINATIONS ENVELOPE

Maximálne kontaktné napätie $\sigma_{Ed}=119$ kPa.

Výpočet návrhovej únosnosti pôdy v základovej škáre:

- Rozmery dosky B=6,2m; L=13,6m
- Hĺbka založenia; sklon terénu d=2,8m; $\beta=2^\circ$
- Zemina v základovej škáre **F2**, $\varphi_{ef}=24^\circ$, $c_d=6\text{kPa}$, $\gamma=19,5\text{kN.m}^{-3}$
- Výpočtová únosnosť zeminy v základovej škáre:

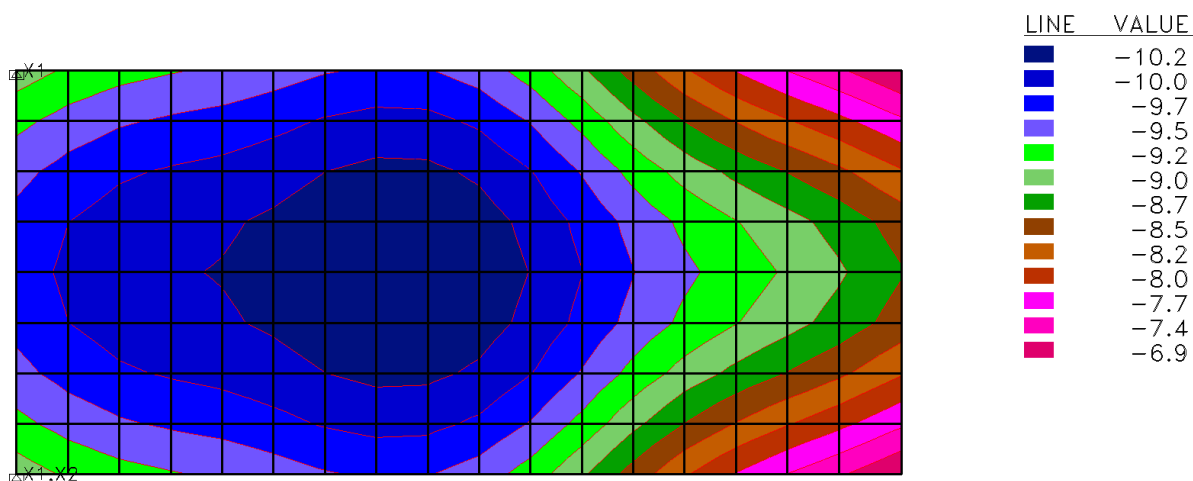
$$\sigma_{Rd} := c_d \cdot N_{cd} \cdot s_c \cdot d_c \cdot i_c \cdot g_c + \gamma_1 \cdot d \cdot N_{dd} \cdot s_d \cdot i_d \cdot g_d + \gamma_2 \cdot 0.5 \cdot B \cdot N_{bd} \cdot s_b \cdot d_b \cdot i_b \cdot g_b = 632.543 \cdot \text{kPa}$$

$$\sigma_{Rd} = 632.543 \cdot \text{kPa} > \sigma_{Ed} = 119 \cdot \text{kPa}$$

Vyhovuje

6. Deformácia základovej dosky – súbor C (STR/GEO)

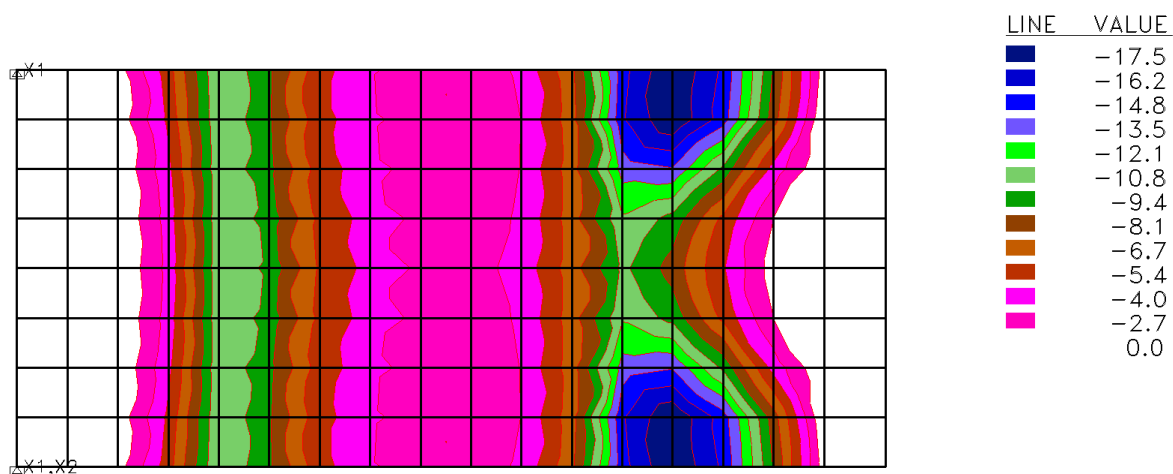
Zvislé deformácie v [mm] základovej dosky od trvalej kombinácie zaťaženia:



Dz CONTOUR LINES COMB. NO. 1 Ek_permanent

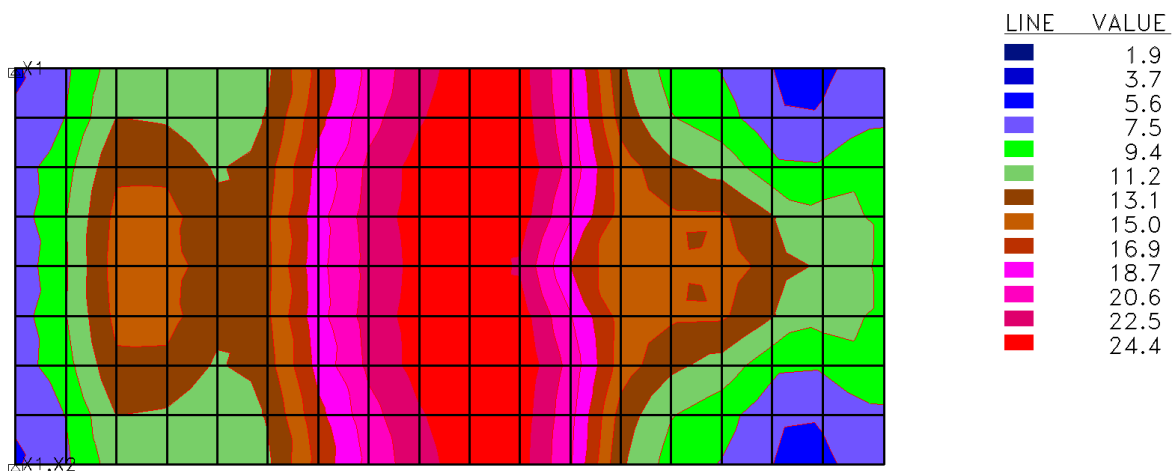
7. Návrh výstuže v základovej doske – súbor B (STR/GEO)

Ohybové momenty M_{Ed} [kNm] – horný povrch, smer x (pozdĺžny):



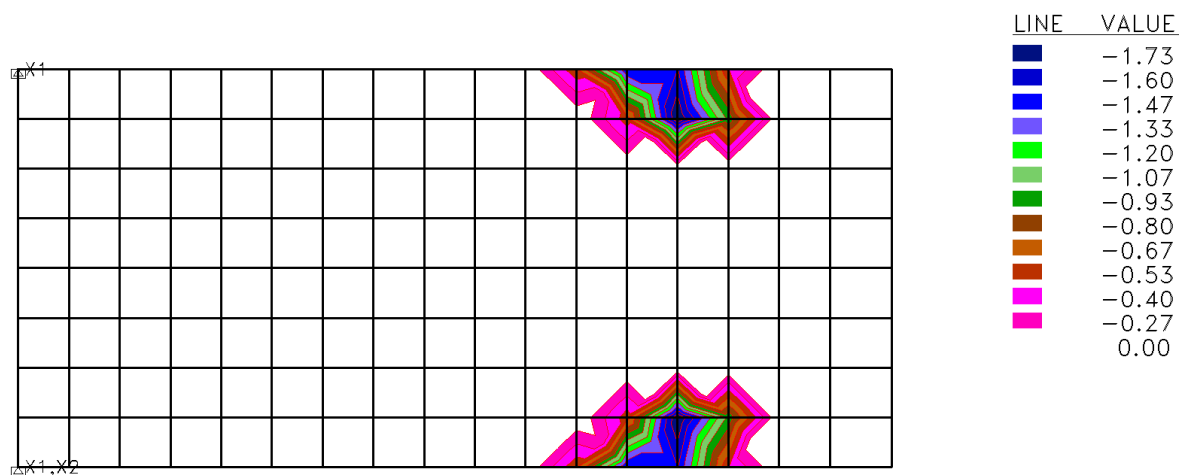
+MX* CONTOUR LINES MINIMUM COMB. ENVELOPE

Ohybové momenty M_{Ed} [kNm] – spodný povrch, smer x (pozdĺžny):



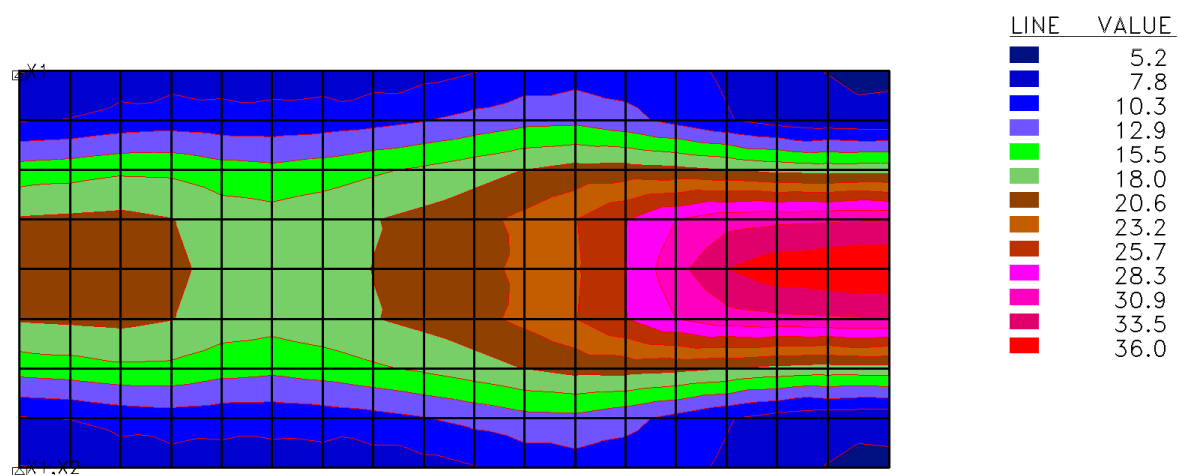
-MX* CONTOUR LINES MAXIMUM COMB. ENVELOPE

Ohybové momenty M_{Ed} [kNm] – horný povrch, smer y (priechy):



+MY* CONTOUR LINES MINIMUM COMB. ENVELOPE

Ohybové momenty M_{Ed} [kNm] – spodný povrch, smer y (priechy):



-MY* CONTOUR LINES MAXIMUM COMB. ENVELOPE

Návrh výstuže:

$$M_{Ed} := 36 \text{ kN} \cdot \text{m}$$

C25/30, B500 B, krytie výstuže 50mm

$$f_{ck} := 25 \text{ MPa} \quad f_{ctm} := 2.6 \text{ MPa} \quad f_{yk} := 505 \text{ MPa} - 15 \text{ MPa}$$

$$f_{cd} := 0.85 \frac{f_{ck}}{1.5} = 14.167 \text{ MPa} \quad f_{yd} := \frac{f_{yk}}{1.15} = 426.087 \text{ MPa}$$

$$d := 250 \text{ mm} - 50 \text{ mm} - 12 \text{ mm} - \frac{12 \text{ mm}}{2} = 0.182 \text{ m} \quad b := 1.0 \text{ m}$$

$$x_B := d - \sqrt{d^2 - \frac{2 \cdot M_{Ed}}{1 \text{ m} \cdot f_{cd}}} = 0.015 \text{ m}$$

$$A_{s,req} := \frac{x_B \cdot 1 \text{ m} \cdot f_{cd}}{f_{yd}} = 4.835 \cdot \text{cm}^2 \quad A_{s,prov} := 6.666 \frac{\pi \cdot (0.012 \text{ m})^2}{4} = 7.539 \cdot \text{cm}^2$$

$$A_{s,min} := 0.26 \cdot \frac{f_{ctm}}{f_{yk}} \cdot b \cdot d = 2.511 \cdot \text{cm}^2$$

$$M_{Rd} := A_{s,prov} \cdot f_{yd} \cdot (d - 0.5 \cdot x_B) = 56.128 \cdot \text{kN} \cdot \text{m} > M_{Ed} = 36 \cdot \text{kN} \cdot \text{m} \quad \text{Vyhovuje}$$

8. Záver

Založenie základovej dosky bolo navrhnuté v hĺbke -2,8m pod úrovňou pôvodného terénu. Samotná doska bola navrhnutá hrúbky 250mm, z betónu C25/30 - XC2, XA1 (SK), C10,4, D_{max}16, S3, vystuženého betonárskou výstužou B500B (φ12mm á150mm pri oboch povrchoch).

9. Použitá literatúra

STN EN 1991-1-1/NA – Všeobecné zaťaženia

STN EN 1991-2 Zaťaženia konštrukcií, Časť 2: Zaťaženie dopravou

STN EN 1992-1-1/NA – Navrhovanie betónových konštrukcií

STN P ENV 1997-1 - Navrhovanie geotechnických konštrukcií

V Bratislave 27.05.2014

Ing. Andrej Prítula, PhD.